

УДК 624.014.27

НАПРЯЖЕННО-ДЕФОРМИРОВАННОЕ СОСТОЯНИЕ ТРАНСПОРТНЫХ ТРУБОПРОВОДОВ ГЛУБОКОВОДНЫХ ДОБЫЧНЫХ КОМПЛЕКСОВ

Шевченко Ф.Л. докт. техн. наук, проф.,

Пащенко В.С. канд. техн. наук, доц.,

Донецкий государственный технический университет

Представлен вывод расчетных зависимостей для определения напряженно-деформированного состояния транспортных трубопроводов глубоководных добычных комплексов с иллюстрацией этого расчета на квазистатическое нагружение напором набегающего потока окружающей среды для случая автономного варианта добычного комплекса.

It is show the definition strain-deformed condition of transported pipeline of deep-water extraction complexes if the speed motion is small.

Избегая динамического влияния штормовой волны на транспортный трубопровод глубоководного добычного комплекса целесообразно его выполнять в автономном режиме, т.е. удерживать на погружной плавучей платформе, а с плавсредством соединять гибкой связью. Тогда при погружении платформы примерно на 50 м штормовое воздействие поверхностного слоя моря исключается. В таком варианте движитель с тяговым усилием P_0 располагается на подвесной платформе нижнего конца трубопровода, масса которой с силовым оборудованием M , рис. 1. На трубопровод действует вертикальная нагрузка собственного веса q , вес подвесной платформы $Q=Mg$, вес насосных агрегатов Q_1 (с учетом архимедовой силы). Кроме того для снижения нагрузки на подвесную платформу N на некоторой части трубопровода прикрепляются блоки сферопластика, плотность которого значительно меньше плотности воды. На этом участке погонная нагрузка на трубопровод, равная выталкивающей силе поплавков за вычетом веса трубопровода и сферопластика, q_1 направлена вверх. При равномерном движении трубопровода на него действует направленная по нормали распределенная нагрузка интенсивностью p от набегающего потока жидкости.

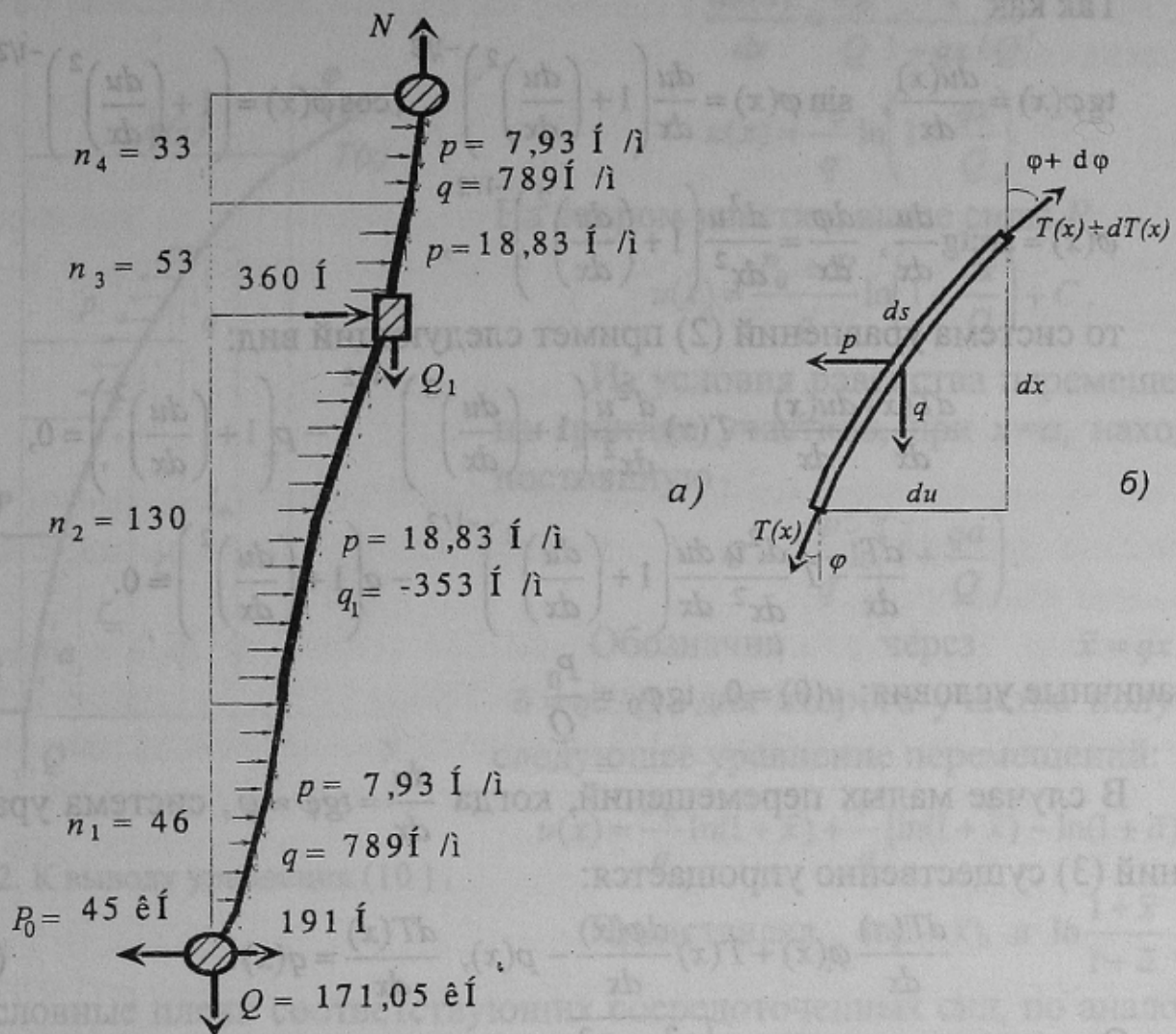


Рисунок 1- Расчётная схема транспортного трубопровода

Так как коэффициент кинематической вязкости воды $\nu \approx 1,1 \cdot 10^{-6} \text{ м}^2/\text{с}$, то уже при самых небольших скоростях набегающего потока жидкости v число Рейнольдса $Re = \frac{vd}{\nu} \gg 10^3$, т.е. сопротивление движению будет пропорциональным квадрату скорости движения трубопровода диаметра d :

$$p = \frac{1}{2} C_p \rho v^2 d = 721 v^2 d, \text{ Н/м.} \quad (1)$$

Пренебрегая тангенциальной составляющей сил сопротивления, из условия равновесия элемента dx (рис. 1,б) получаем систему уравнений:

$$\begin{aligned} -T(x) \sin \varphi(x) + (T(x) + dT(x)) \sin(\varphi(x) + d\varphi(x)) - p ds &= 0, \\ -T(x) \cos \varphi(x) + (T(x) + dT(x)) \cos(\varphi(x) + d\varphi(x)) - q ds &= 0. \end{aligned} \quad (2)$$

Так как

$$\operatorname{tg} \varphi(x) = \frac{du(x)}{dx}, \quad \sin \varphi(x) = \frac{du}{dx} \left(1 + \left(\frac{du}{dx} \right)^2 \right)^{-1/2}, \quad \cos \varphi(x) = \left(1 + \left(\frac{du}{dx} \right)^2 \right)^{-1/2},$$

$$\varphi(x) = \operatorname{arctg} \frac{du}{dx}, \quad \frac{d\varphi}{dx} = \frac{d^2 u}{dx^2} \left(1 + \left(\frac{du}{dx} \right)^2 \right)^{-1/2},$$

то система уравнений (2) примет следующий вид:

$$\frac{dT(x)}{dx} \frac{du(x)}{dx} + T(x) \frac{d^2 u}{dx^2} \left(1 + \left(\frac{du}{dx} \right)^2 \right)^{-1/2} - P \left(1 + \left(\frac{du}{dx} \right)^2 \right) = 0, \quad (3)$$

$$\frac{dT}{dx} - T \frac{d^2 u}{dx^2} \frac{du}{dx} \left(1 + \left(\frac{du}{dx} \right)^2 \right)^{-1/2} - q \left(1 + \left(\frac{du}{dx} \right)^2 \right) = 0.$$

Граничные условия: $u(0) = 0$, $\operatorname{tg} \varphi_0 = \frac{P_0}{Q}$.

В случае малых перемещений, когда $\frac{du}{dx} = \operatorname{tg} \varphi \approx \varphi$, система уравнений (3) существенно упрощается:

$$\frac{dT(x)}{dx} \varphi(x) + T(x) \frac{d\varphi(x)}{dx} - P(x), \quad \frac{dT(x)}{dx} = q(x). \quad (4)$$

Отсюда с учетом $T_0 = \sqrt{Q^2 + P_0^2}$ находим усилие в произвольном сечении трубопровода $T(x) = qx + \sqrt{Q^2 + P_0^2} = qx + T_0$, что приводит к дифференциальному уравнению деформированного трубопровода:

$$(T_0 + qx) \frac{d^2 u(x)}{dx^2} + q \frac{du(x)}{dx} - P(x) = 0. \quad (5)$$

В случае малых перемещений уравнение деформированного трубопровода можно также получить из условия равновесия части стержня, рис. 2:

$$T(x) \sin \varphi(x) = P_0 + P + p(x - \zeta_n), \quad T(x) \cos \varphi(x) = Q + qx.$$

Отсюда получаем

$$\operatorname{tg} \varphi(x) = \frac{du(x)}{dx} = \frac{P_0 + P + p(x - \zeta_n)}{Q + qx}. \quad (6)$$

На нижнем участке (рис. 2), где $P = p = 0$, уравнение (6) и его решение имеют вид:

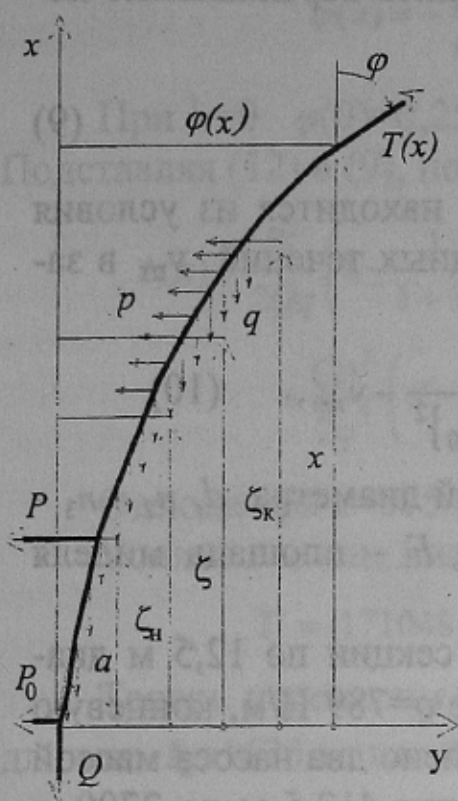


Рис.2. К выводу уравнения (10),

$$\frac{du(x)}{dx} = \frac{P_0}{Q} \frac{1}{1 + qx/Q},$$

$$u(x) = \frac{P_0}{q} \ln \left(1 + \frac{qx}{Q} \right).$$

На втором участке, выше силы P ,

$$u(x) = \frac{P_0 + P}{q} \ln \left(1 + \frac{dx}{Q} \right) + C.$$

Из условия равенства перемещений на границе участков, при $x=a$, находим постоянную

$$C = -\frac{P}{q} \ln \left(1 + \frac{qa}{Q} \right).$$

Обозначив через $\bar{x} = qx/Q$, $\bar{a} = qa/Q$, для второго участка получим следующее уравнение перемещений:

$$u(x) = \frac{P_0}{q} \ln(1 + \bar{x}) + \frac{P}{q} [\ln(1 + \bar{x}) - \ln(1 + \bar{a})].$$

Представляя $\ln(1 + \bar{x})$, и $\ln \frac{1 + \bar{x}}{1 + \bar{a}}$ за

условные плечи соответствующих сосредоточенных сил, по аналогии с сосредоточенными силами можно учесть распределенную нагрузку суммированием влияния элементарных сосредоточенных сил $p d\zeta$, т.е. интегралом $\int \frac{P}{q} d\zeta \ln \frac{1 + \bar{x}}{1 + \zeta}$. Так получаем уравнение деформированного трубопровода как гибкой весомой нити

$$u(x) = \frac{P_0}{q} \ln(1 + \bar{x}) + \sum_0^x \frac{P_i}{q} \ln \left(1 + \frac{qx_i}{Q} \right) e(x - x_i) + \sum_0^x \int_{\zeta_n}^{\zeta_k} \frac{p}{q} \ln \frac{1 + \bar{x}}{1 + \zeta} d\zeta, \quad (7)$$

где $e(x - x_i)$ — единичная функция, равная нулю при $x < x_i$ и единице — при $x \geq x_i$.

Отсюда дифференцированием можно найти уравнение углов поворота поперечных сечений $\varphi(x) = \frac{du(x)}{dx}$, а по углам поворота вычислить усилие в произвольном сечении трубопровода

$$T(x) = (Q + qx) \frac{1}{\cos \varphi(x)}. \quad (8)$$

Зная углы поворота, также можно вычислить вертикальные перемещения сечений

$$\Delta(x) = \frac{1}{2} \int_0^x \left(\frac{du(x)}{dx} \right)^2 dx. \quad (9)$$

Предельная скорость движения системы находится из условия равновесия системы с учетом скорости подводных течений $v_{пт}$ в зависимости от усилия тяги движителя P_0

$$v = \frac{P}{\{721l[d(n_1 + n_4) + 0,78d_0(n_2 + n_3) + F/l_0]l_0\}^2} - v_{пт}, \quad (10)$$

где $n_1 + n_4$ - количество обнаженных секций диаметра d , $n_2 + n_3$ - количество поплавковых секций диаметра d_0 , F - площадь миделя подвесной платформы.

Пример. Трубопровод, содержащий 264 секции по 12,5 м диаметром $d = 245$ мм, имеет погонный вес в воде $q = 789$ Н/м, конечную массу $M = 20 \cdot 10^3$ кг. На глубине 1075 м установлено два насоса массой 13600 кг каждый. На среднем участке с глубины 412,5 м до 2700 м подвешены поплавки диаметром $d_0 = 0,64$ м из сферопластика, создающие подъемную нагрузку интенсивностью $q_1 = 353$ Н/м. Интенсивность сил сопротивления набегающего потока жидкости на участке с поплавками $p = 18,83$ Н/м, а на обнаженных участках $p = 7,926$ Н/м. Сила сопротивления движению подвесной платформы 191 Н. На подвесной платформе установлен движитель с тяговым усилием $P = 45$ кН. С учетом количества поплавковых $n_2 + n_3 = 183$ и обнаженных $n_1 + n_4 = 79$ секций по формуле (10) находим предельную скорость перемещения системы $v = 0,212$ м/с (при $v_{пт} = 0$). С учетом сил сопротивления движению и архимедовых сил имеем сосредоточенную нагрузку на нижнем конце трубопровода $Q = 171046$ Н, $P_0 = 44809$ Н и равномерно распределенную вертикальную $q = 789$ Н/м и горизонтальную $p = 7,926$ Н/м.

Уравнение деформированного трубопровода (7) на нижнем участке принимает вид:

$$u(x) = \frac{P_0}{q} \ln(1 + \bar{x}) - \frac{P}{q} \int_0^x \ln \frac{1 + \bar{x}}{1 + \zeta} d\zeta = -\frac{px}{q} + \frac{P_0}{q} \left(1 + \frac{pQ}{qP_0} \right) \ln \left(1 + \frac{qx}{Q} \right). \quad (11)$$

На основании этого уравнения в конце первого участка при $x = 575$ м находим горизонтальное перемещение $u_1 = 70,6$ м. Дифференцируя (11), находим уравнение углов поворота сечений

$$\varphi(x) = -\frac{p}{q} + \frac{P_0}{Q} \left(1 + \frac{pQ}{qP_0} \right) \frac{Q}{Q+qx} = \frac{P_0 - px}{Q + qx}. \quad (12)$$

При $x=0$ $\varphi(0)=0,256$ рад, а в конце участка $\varphi_1=64,43 \cdot 10^{-3}$ рад. Подставляя (12) в (9), получим вертикальное перемещение

$$\Delta(x) = \frac{P_0^2}{2Qq} \left(1 - \frac{1}{1+\bar{x}} \right) - \frac{P_0 p}{q^2} \left(\frac{1}{1+\bar{x}} + \ln(1+\bar{x}) - 1 \right) + \frac{Qp^2}{2q^3} \left(\bar{x} - 2 \ln(1+\bar{x}) - \frac{1}{1+\bar{x}} + 1 \right). \quad (13)$$

Отсюда при $x=575$ м находим $\Delta=5,08$ м.

Усилие в конце нижнего участка находим по (8)

$$T_1 = (171048 + 789 \cdot 575) / \cos 0,0644 = 623424,7 \text{ Н.}$$

Теперь переносим систему координат в начало второго участка длиной $l_2=1625$ м, где действуют: $Q_1 = T_1 \cos \varphi_1 = 622131,2$,

$$P_1 = T_1 \sin \varphi_1 = 40139,5 \text{ Н, } p = 18,83 \text{ Н/м, } q = -353 \text{ Н/м.}$$

По (11), (12) находим горизонтальное перемещение и угол поворота сечения в конце участка:

$$u_2 = u_1 + u(l_2) = 215,65 \text{ м, } \varphi_1 = \varphi(l_2) = 0,230 \text{ рад.}$$

Вертикальное перемещение в конце второго участка

$$\Delta_2 = \Delta_1 + \Delta(l_2) = 5,08 + 7,297 = 12,37 \text{ м.}$$

Усилие в конце второго участка (8)

$$T_2 = (623,42 - 0,353 \cdot 1625) \cos 0,234 = 48,44 \text{ кН.}$$

Аналогично производится расчет на следующих участках. Результаты такого упрощенного расчета и решения системы уравнений (3) на ЭВМ методом Рунге-Кутты показаны на рис. 3.

Программа расчета позволяет выбирать усилие тяги движителя в зависимости от скорости перемещения системы, вычислять количество поплавокных секций, определять напряжения в сечениях трубопровода и его деформированное состояние, а также учитывать направление и скорость подводных течений.

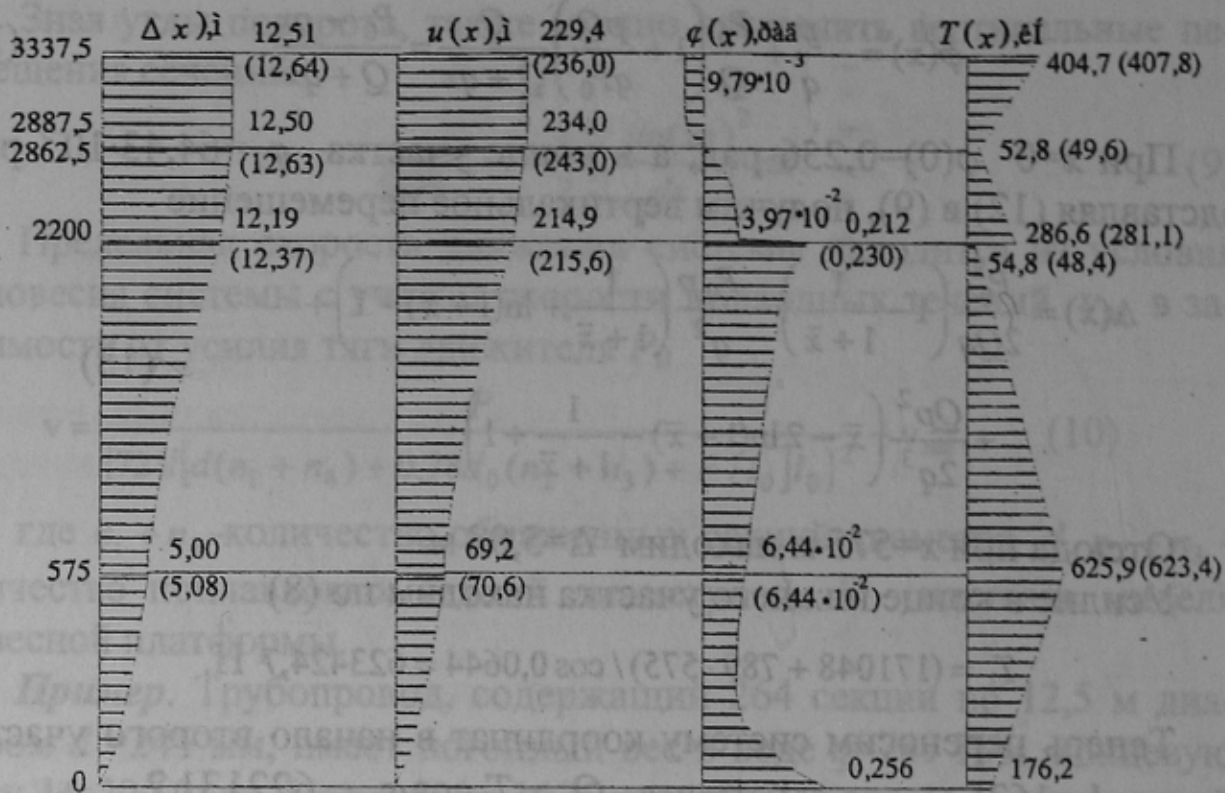


Рисунок 3 - Эпюры напряжённо-деформированного состояния транспортного трубопровода: $\Delta(x)$ – вертикальные перемещения; $u(x)$ – горизонтальные перемещения; $\varphi(x)$ – углы поворота сечений; $T(x)$ – продольные усилия.

УДК 622.012

ПОВЫШЕНИЕ ИСКРОБЕЗОПАСНОСТИ КОММУТАЦИИ НАГРУЗКИ, ПОДКЛЮЧЕННОЙ К ИСТОЧНИКУ ПИТАНИЯ

Шевченко В.Ф. к.т.н, доц., Неежмаков С.В. бакалавр,
Донецкий государственный технический университет

Предлагаемый метод повышает надежность обеспечения искробезопасности контактов переносных измерительных устройств.

The offered method raises a reliability of security safety from a scintilla of contacts of portable measuring devices.

В шахтах Украины с повышением глубины разработки угольных пластов увеличивается выделение метана и повышается опасность использования устройств, имеющих электрические источники питания, а поэтому необходимо повысить надежность искробезопасных